

# I-310 乱した気流中の $1:1$ , $1:2$ 断面柱の非定常圧力特性

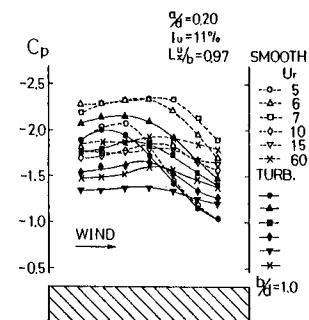
住友重機械 正員 宮崎正男  
横浜国立大学 正員 宮田利雄  
東京大学 学生員 山田均

**1. まえがき** 一様な気流中に弹性支持された角柱があかれると、曲げ、あるいは振れの、いわゆる渦励振動であるとか、フリッタといった空力不安定振動を起こすことはよく知られていく。これら不安定振動に及ぼす乱れの効果は、乱山の性質によるのはもちろんのこと、振動現象の種類や断面の辺長比などによっても、その効果の現れ方が異なってくる。<sup>1), 2), 3)</sup> 本研究は、限界風速付近の渦励振動や、より高風速側で発生するギャローピング現象に対して、乱れの効果が比較的小い、断面の辺長比が $1/1$ の正方形角柱と、著しく影響の現れる $1/2$ の長方形断面とりわけ、非定常圧力を測定することにより、乱れの効果の現れ方の差を明かにしようとするものである。

**2. 実験概要** 実験に使用した模型は、 $\times$ 断面が $45 \times 75 \text{ mm}$ ,  $\backslash$ 断面が $37.5 \times 75 \text{ mm}$ の二次元模型で、長さはいずれも $1050 \text{ mm}$ である。乱した気流の模型位置での特性は、主流方向の乱れの強さ $I_u = 11\%$ 、同じく乱れの積分スケール $L_x^u = 7.3 \text{ cm}$ であり、模型の主流方向、長辺と垂直とするとき $L_x^u/b = 0.97$ となる。これらの模型を一様気流中および乱した気流中で強制加振し、断面まわりの圧力分布を測定した。結果は平均圧力係数と変動圧力係数について動圧を用いて無次元化し、非定常圧力係数については、いわゆる非定常空気力の測定と同様の手法により、実部と虚部に分けた後、動圧を用いて無次元化した。また、変位に対する非定常圧力の位相差 $\beta$ は、下向き変位のとき下向き圧力を正とした。従って、今回の実験では上面は負圧で変動しているために $\beta = 0 \sim 180^\circ$ の範囲が加振力となる。圧力の測定には Scanivalve を駆動する圧力計(D型, 0.20 psi)を使用したが、圧力孔から圧力変換器までのチューブ長さによる位相遅れは $3 \sim 9^\circ$ 程度であった。尚、実験の $Re = 1.2 \times 10^4$ の範囲で行った。

**3. 実験結果と考察** Fig. 1～3には、 $\times$ 断面の加振振幅比 $a/d = 0.20$  ( $d$ : 模型高さ)における上面での平均圧力係数 $C_p$ 、非定常圧力の虚部 $C_{PI}$ 、および位相差 $\beta$ の分布と代表的な換算風速 $U_r (= U_{fd} / U_{\text{風速}}, f_d: \text{加振振動数})$ について示す。 $C_p$ 特性については一様流、乱流中とも傾向は似ていいが、全体として乱流中の方が圧力回復してあり、乱山が接近したこととしているとも言えよう。一方、 $C_{PI}, \beta$ 特性は、 $U_r$ 附近での一様流中の急激な変化が乱流中では認められなくなっている。乱れの効果が認められる。 $U_r$ 附近以外の風速域では、一様流、乱流中とも結果はかなりよく一致している。また、 $C_{PI}, \beta$ が負から正へ転ずる $U_r = 10$ 附近がひとつの境界となり、これ以後に $C_p$ 分布も変化していくことが分かる。即ち、 $U_r > 10$ では $C_p$ はほぼ一定分布となるのに対して、 $U_r \leq 10$ では前縁側で圧力低下が著しく、後縁側で圧力回復している。さらに、 $C_{PI}$ が最大となるときに $C_p$ の圧力回復が最も大きくなっている。Fig. 4～6には $\backslash$ 断面の $\%d = 0.20, 0.30, 0.40$ での $C_p, C_{PI}, \beta$ の分布を示す。 $C_p$ 分布では $U_r \leq 10$ 、 $C_{PI}, \beta$ は $U_r$ で一様流、乱流中とも、よく傾向が一致していいが、 $U_r$ が増すとともに著しい差がみられ、乱流中では加振力の形成が難しくなっていいことが分かる。これらの $\times$ ,  $\backslash$ 断面における $C_p, C_{PI}, \beta$ の $U_r$ に対する特性変化を上面中央点について示したもののがFig. 7～10である。

これらの結果より、 $\times$ 断面では、乱れの効果は平均圧力を変化させると、加振力とのものにはほとんど変化を及ぼさないこと、平均圧力から $U_r \geq 30$ 非定常圧力の特性変化からは $U_r \geq 50$ では準定常理論が一様流中、乱流中とも成立すると言える。一方、 $\backslash$ 断面では、乱れの効果は著しく平均圧力を変化し、 $\times$ 断面上での平均圧力係数 $C_p$ の分布



化させるとだけでなく加振力をも変化させ、振動の発生を妨げる効果を発揮すること、位相差特性からは  $U_r \leq 80$  %  $\leq 0.40$  の範囲で、乱流中では準定常理論が成立しないことが分かる。

(参考文献) 1) T.Miyata, M.Miyazaki, "Turbulence Effects on Aerodynamic Response of Rectangular Cylinders", Proc. 5th Int'l Conf. Wind Engg. (Colorado), 1979, 2) 山田・宮田・宮崎, "乱流中の渦動振に

関する一考察", 第34回土木学会年次学術講演会, 1979

3) 宮田・宮崎・山田, "乱れた気流に対する簡単構造の空

力特性", 第34回土木学会年次学術講演会, 1979

ジマツ, 1980

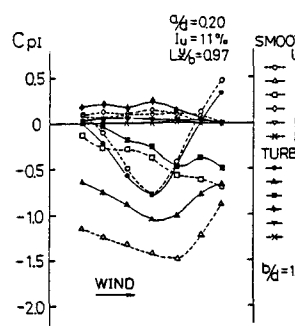


Fig. 2. 1/2断面・非定常力係数CPIの分布

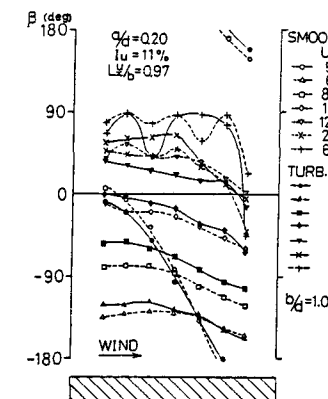


Fig. 3. 1/2断面の位相差betaの分布

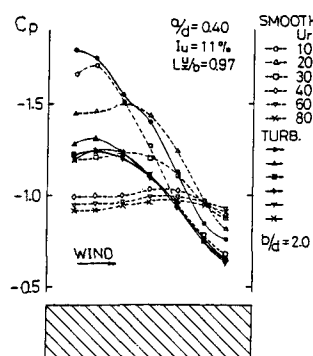


Fig. 4. 1/2断面上面でのCp分布

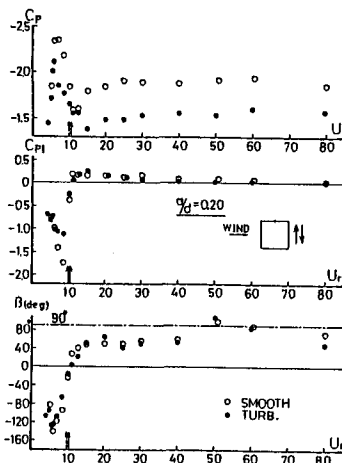


Fig. 5. 1/2断面の上面中央値でのCp, CPI, betaのU\_rに対する変化

注) 図中の破線の矢印は、質量比、減衰比X-1  
 $\Gamma = \frac{2\pi f_0}{U_r} \delta_2 = 10.0$  ときの応答振幅(=振幅)で  
 $\%d = 0.20$  とした  $U_r$  の位置を示す。実線矢印は乱流中の各

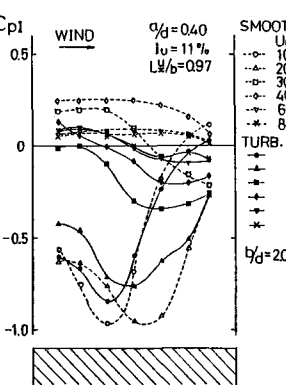


Fig. 6. 1/2断面のCPI分布

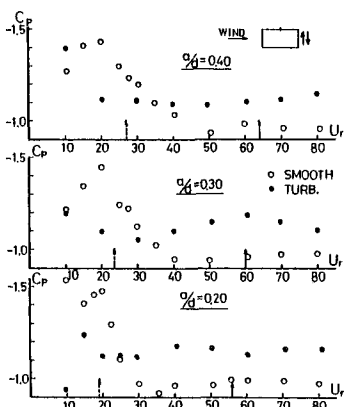


Fig. 7. 1/2断面の上面中央値でのCpのU\_rに対する変化

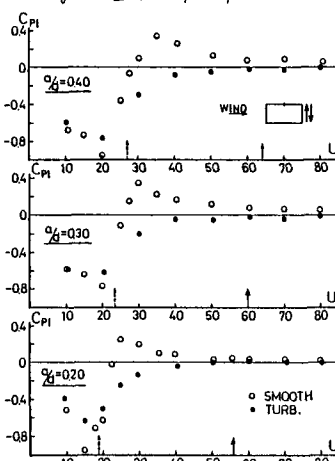


Fig. 8. 1/2断面の上面中央値でのCpのU\_rに対する変化

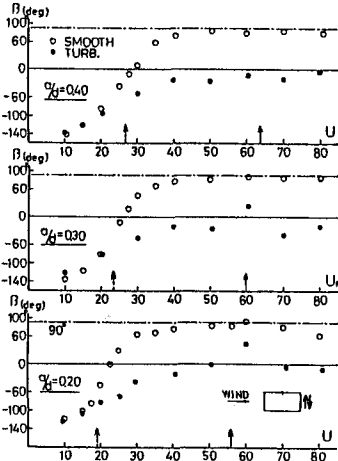


Fig. 9. 1/2断面のCPIのU\_rに対する変化